

## اثر همگن سازی بر رفتار آنیل ورق آلمینیوم آلیاژی AA ۸۰۱۱

مهرداد آقایی خفری

دانشجوی دکتری گروه مهندسی متالورژی - دانشکده فنی - دانشگاه تهران

رضا محمودی

دانشیار گروه مهندسی متالورژی - دانشکده فنی - دانشگاه تهران

(تاریخ دریافت ۱۱/۹/۷۶، تاریخ تصویب ۹/۸/۷۷)

چکیده

در تحقیق حاضر اثر همگن سازی بر رفتار آنیل ورق آلمینیوم آلیاژی AA ۸۰۱۱ مورد بررسی قرار گرفته است. نتایج نشان دادند که همگن سازی در آلیاژ فوق موجب کاهش دمای تبلور مجدد و کاهش تمایل به تبلور مجدد پیوسته می‌گردد. برهمنش فرآیندهای رسوب گذاری و تبلور مجدد با استفاده از روش گرماسنجی دینامیک<sup>(۱)</sup> DSC مورد بررسی قرار گرفته و تاثیر اندازه و فاصله بین رسوبات بر روی پدیده فوق تحقیق شده است.

**کلید واژه‌ها:** همگن سازی، آنیل، گرماسنجی DSC، تبلور مجدد، AA ۸۰۱۱، آنالیز تصویری، خواص مکانیکی، رسوب گذاری، آلمینیوم

مقدمه

کاهش ضخامت) و همچنین تاثیر آنیل میانی بر کاهش اثر مذکور را مورد بررسی قرار داده است. از طرف دیگر Oscarson و همکاران [۶] تمایل به تبلور مجدد پیوسته در ورقهای نورده همگن نشده AA ۸۰۱۱ (۹۸٪ کاهش ضخامت) را گزارش نموده‌اند. در این گزارش پدیده تبلور مجدد پیوسته بر خلاف نظریات مرسوم، به قفل شدن ریز دانه‌ها توسط رسوبات و جدا شدن تدریجی آنها در اثر درشت شدن ذرات رسوبی نسبت داده نشده است. در تحقیق حاضر، آلیاژ AA ۸۰۱۱ با ترکیب شیمیایی مشابه موارد فوق مورد بررسی قرار گرفته، حاصل این بررسی بخشی از نتایج گزارش شده قبلی را تایید نموده و علاوه بر آن، ویژگی‌های جدیدی را در این آلیاژ نمایان ساخته است.

### روش تحقیق

در آزمایش‌های مختلف از تسخیمه‌های ریخته شده (Strip - Cast) با ترکیب شیمیایی به شرح جدول (۱) استفاده گردید. به منظور بررسی اثر همگن سازی،

آلیاژ AA ۸۰۱۱ به عنوان یکی از اعضاء گروه ۸۰۰۰ آلیاژ‌های آلمینیوم به منظور جایگزینی آلیاژ‌های گروه ۱۰۰۰ مورد توجه قرار گرفته است. مکانیزم مقاوم شدن در این آلیاژ عملیات حرارتی ناپذیر، ناشی از حضور ذرات (رسوبات FeAl<sub>3</sub> یا ترکیبات کمپلکس FeAlSi) پراکنده در ساختار می‌باشد [۲، ۱]. آنچه که این آلیاژ سخت شونده توسط ذرات (۲) را از آلیاژ‌های گروه ۱۰۰۰ متمایز می‌سازد، قابلیت تغییر شکل بالا و خواص مکانیکی مطلوب در آن است. این ویژگیها موجب گشته تا این آلیاژ در زمینه مصارف فویل و ورقهای نازک با استقبال گسترده‌ای روپرتو شود. آلیاژ AA ۸۰۱۱ به دلیل کاربردهای متنوع صنعتی [۴، ۳]، برهمنش فرآیندهای تبلور مجدد و رسوب گذاری در طی آنیل [۵] و ساختار متالورژیکی منحصر به فرد [۶] مورد بررسی محققین قرار گرفته است. در این ارتباط نحوه توزیع و فاصله بین ذرات، همگن سازی و آنیل به عنوان پارامترهای کنترل کننده خواص آلیاژ مطرح شده‌اند. تحقیقات Garcia Cordovilla C. Louis و [۵] اثر رسوب گذاری بر تبلور مجدد ورقهای نورده شده (۸۵٪)

ورقهای نوردی بریده شده بودند انجام شد. در آزمایش‌های گرماسنجی، نمونه شاهد از جنس آلومینیوم با خلوص بالا انتخاب شد. مقادیر دانسیته کسر حجمی، و فاصله بین ذرات در نمونه‌ها براساس نتایج آنالیز تصویری محاسبه گردید. آنالیز تصویری با استفاده از دستگاه آنالیز تصویری Cambridge و در بزرگنمایی ۲۰۰۰ انجام گرفت.

بمنظور مقایسه رفتار آنیل نمونه‌های آلیاژ AA ۸۰۱۱ و AA ۸۰۷۹ ابتدا تسمه‌های ریخته گری شده آلیاژ AA ۸۰۷۹ (۲% Si و ۰٪ Fe) در شرایط مشابه با آلیاژ AA ۸۰۱۱ نورد شدند. سپس نمونه‌های کششی تهیه شده از ورقهای آلیاژی در دمای ثابت ۲۰۰°C آنیل شدند. برای نشان دادن شرایط نمونه‌ها و عملیات حرارتی انجام شده بر روی آنها از علائم اختصاری H (همگن شده) و U (همگن نشده) استفاده گردیده و پس از این علائم دمای آنیل ذکر شده است.

## نتایج و بحث

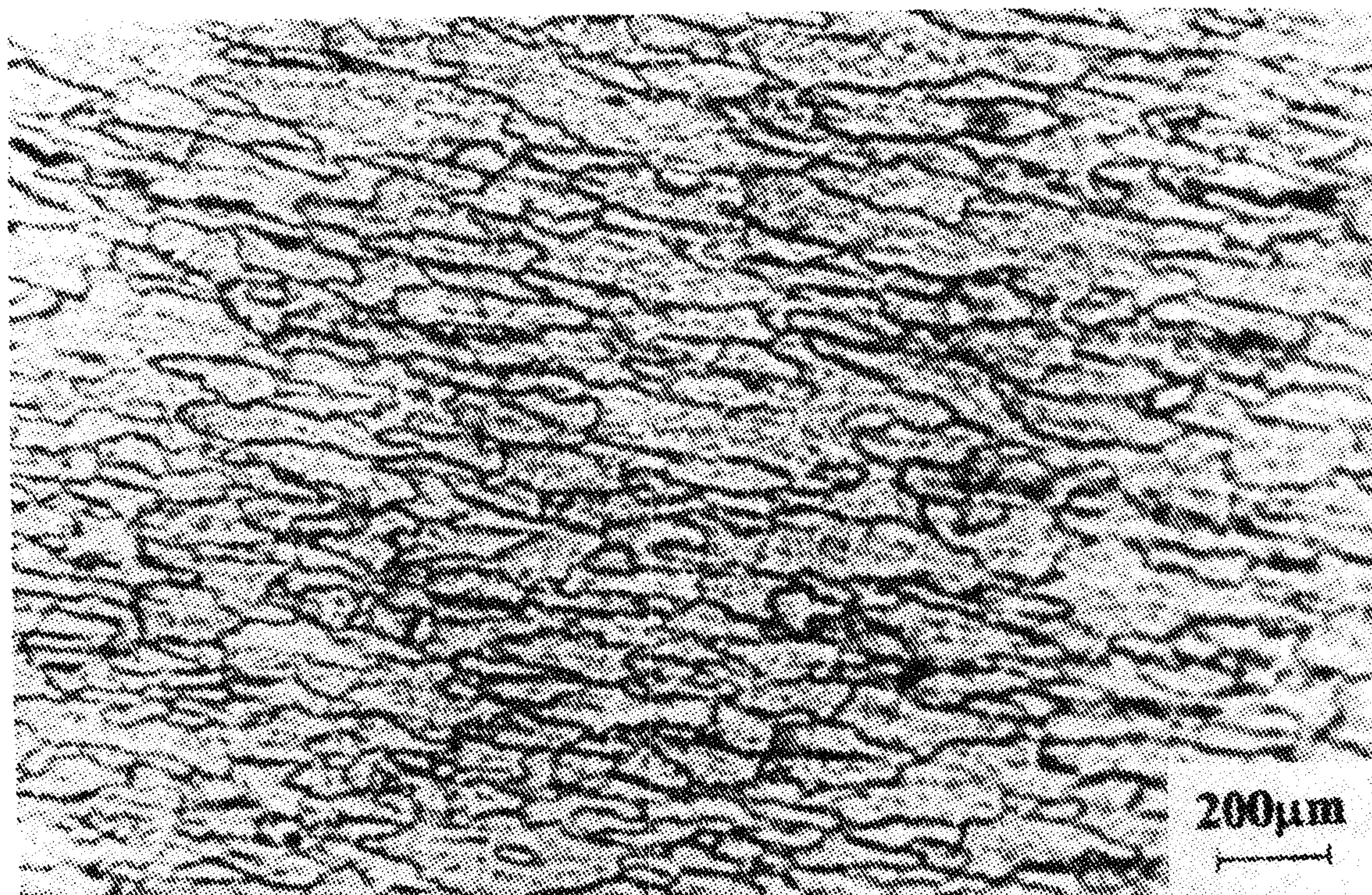
شکلهای (۱) و (۲) به ترتیب ساختار آلیاژ AA ۸۰۱۱ پس از ریخته گری و پس از نورد و آنیل را نشان می‌دهند. منحنی‌های تنش - کرنش مهندسی مربوط به نمونه‌های آنیل شده در شرایط متفاوت در شکل (۳) آورده شده است.

تعدادی از تسمه‌های ریخته گری شده به مدت هشت ساعت در دمای ۵۷۰°C درجه سانتیگراد تحت عملیات همگن سازی قرار گرفتند. نمونه‌ها پس از گذشت زمان مذکور در کوره سرد شدند. سپس تسمه‌های همگن شده به همراه سایر تسمه‌های عادی با استفاده از دستگاه نورد دو غلطکی نورد شدند. کاهش ضخامت از هشت میلیمتر به ۸/۰ میلیمتر، و در طی پاسهای متعدد و بدون آنیل میانی صورت گرفت. در مرحله بعد نمونه‌های کششی با طول سنجه ۵۰ میلیمتر مطابق با استاندارد ASTM B ۵۵۷M از ورقهای نوردی بریده شده و تحت عملیات آنیل آهسته قرار گرفتند. سرعت گرمایش در این نوع آنیل ۴۰°C/h و محدوده دمایی آنیل ۱۵۰°C تا ۴۰۰°C و زمان نگهداری نمونه‌ها در دمای آنیل دو ساعت بوده است. همنچنین بعضی از نمونه‌ها در شرایط حمام نمک خنثی در دمای ۳۰۰°C و به مدت ۱۵ دقیقه تحت عملیات آنیل سریع قرار گرفتند.

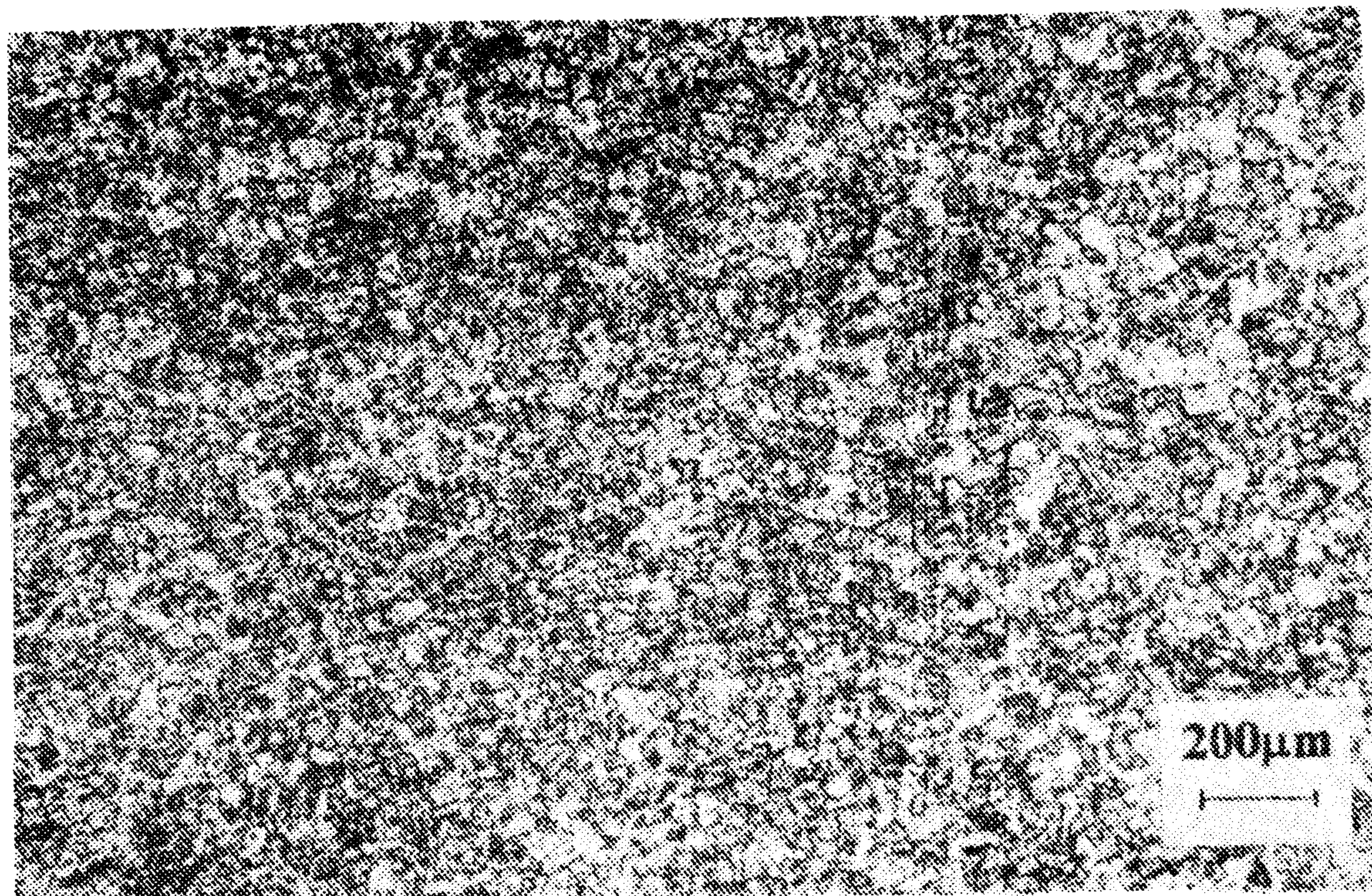
جدول ۱: ترکیب شیمیایی آلیاژ.

عنصر	Si	Fe	Mn	Cu	Zn	Ti	Al
بقیه	۰/۰۵۹۰	۰/۰۸۳۰	۰/۰۲۵	۰/۰۱۰	۰/۰۵۰	۰/۰۲۰	درصدوزنی

بررسی گرماسنجی دینامیک با استفاده از دستگاه DSC از نوع Perkin-Elmer و بر روی نمونه‌های با وزن پنج میلی گرم که با استفاده از روش ماشینکاری اسپارک از

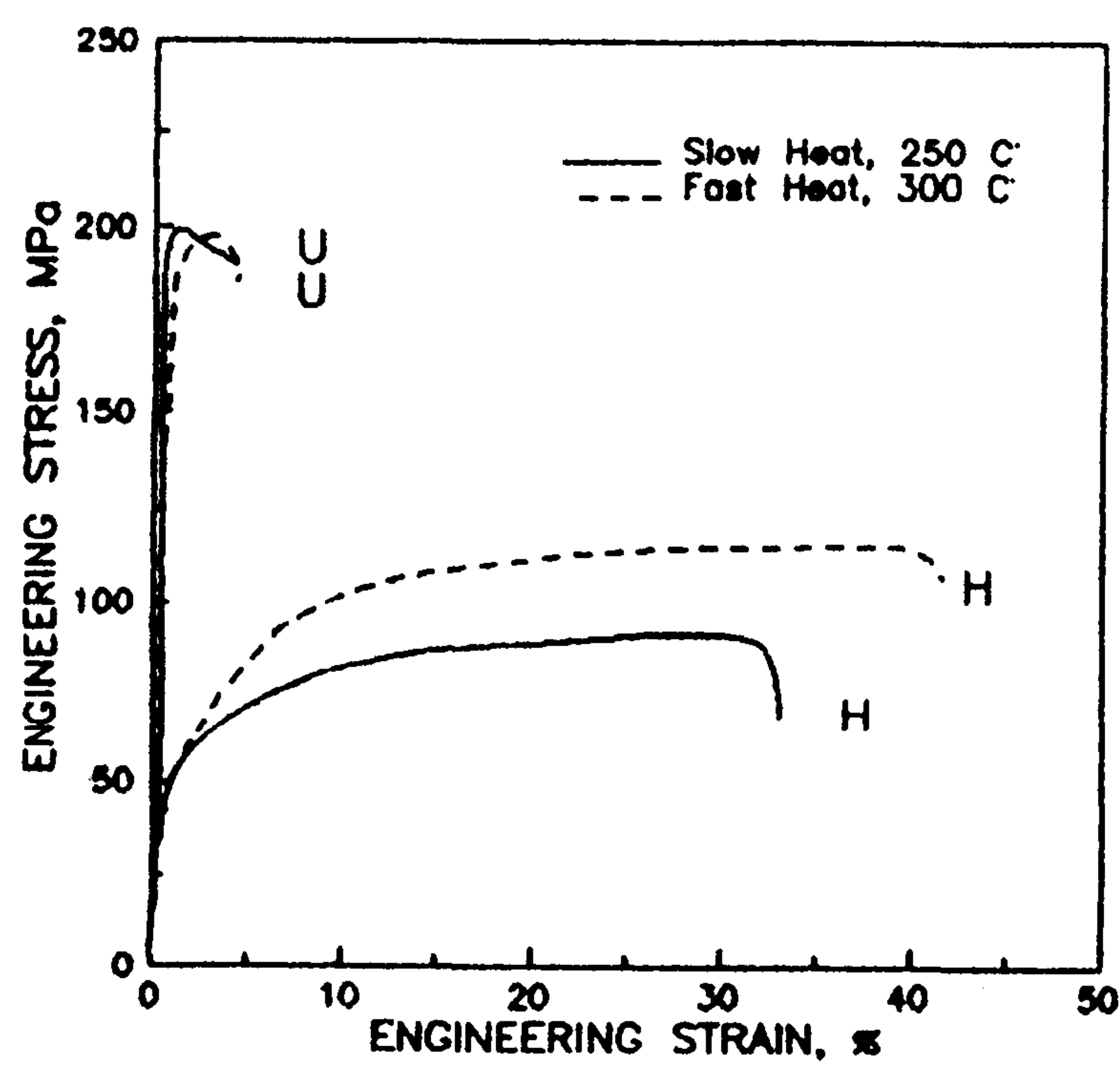


شکل ۱: تصویر متالوگرافی نوری نمونه ریخته گری.



شکل ۲: تصویر متالوگرافی نوری نمونه آنیل آهسته U300.

توسعه داده است.



شکل ۳: منحنی های تنش کرنش مهندسی برای نمونه های مختلف.

شتاب یافتن و یا کند شدن تبلور مجدد در آلیاژهای آلومینیوم با توجه به فاصله بین رسوبات [۸،۷] و تقدم و یا تاخر فرآیندهای رسوب گذاری و تبلور مجدد [۹] بررسی شده است. در عین حال در سالهای اخیر جوانه زنی تحریک شده توسط ذرات، (۱) PSN و همچنین مفاهیم تبلور مجدد پیوسته و یا بازیابی گسترش یافته (۲) نیز مورد

نمونه همگن شده برخلاف سایر نمونه های همگن نشده در هر دو شرایط آنیل آهسته و آنیل سریع، قابلیت انعطاف بالا و استحکام پایینی را ارائه مینماید. اختلاف رفتار تبلور مجدد نمونه های همگن شده و همگن نشده با توجه به منحنی های افت استحکام در شکل (۴) به صورت دقیق تری مشخص می گردد. نمونه های همگن شده استحکام پایین تری داشته و افت استحکام تسلیم در آنها به صورت ناپیوسته تری اتفاق می افتد. چنانکه ملاحظه می گردد، نمونه های همگن نشده تبلور مجدد پیوسته را به صورت بارزتری نمایان می سازد. تفاوت استحکام تسلیم نمونه های را میتوان با توجه به تفاوت دمای تبلور مجدد در نمونه های همگن شده و همگن نشده و تاثیر پارامترهای اندازه دانه اولیه و مورفولوژی رسوبات بر دمای تبلور مجدد توضیح داد. در نمونه های همگن نشده، رسوبات حالت خوشای و به هم پیوسته داشته، شکل (۵ - الف)، و در نمونه همگن شده، شکل (۵ - ب)، رسوبات بصورت پراکنده در ساختار توزیع شده اند. اگر چه اندازه دانه بزرگتر نمونه های ریخته گری و همگن شده می باشد دمای تبلور مجدد را در نمونه های نورد و آنیل شده افزایش دهد، ولی نتایج نشان می دهد که همگن سازی در این آلیاژ منجر به کاهش دمای تبلور مجدد گردیده و تبلور مجدد ناپیوسته را

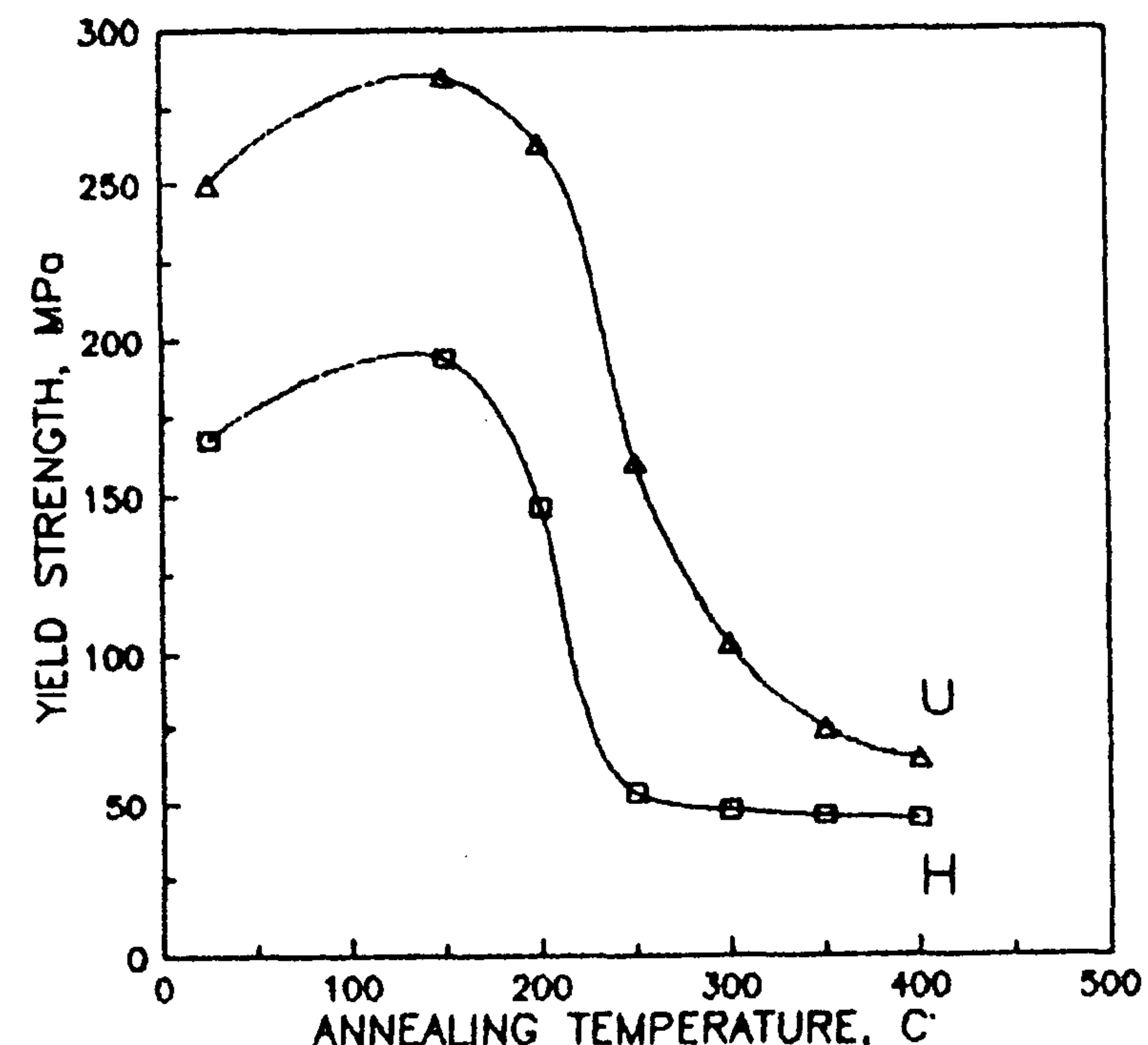
در این رابطه ( $\Delta\delta S$ ) فاصله مرکز به مرکز تا نزدیک ترین همسایه،  $F_v$  کسر حجمی ذرات و  $r$  شعاع ذره می‌باشد. چنانکه ملاحظه می‌گردد مقدار فاصله بین ذرات به مراتب بزرگتر از مقدار بحرانی ( $4\mu$ ) لازم جهت شتاب دهنی تبلور مجدد در آلیاژهای Al-Fe بوده [۸] و می‌بایست اثری شتاب دهنده را بر تبلور مجدد نمونه‌ها اعمال نمایند. اثر ذرات فاز دوم بر تبلور مجدد را با توجه به قطر متوسط ذرات و نسبت کسر حجمی ذرات موجود به شعاع ذرات نیز مورد ارزیابی قرار می‌دهند [۱۰]. براساس نتایج ارائه شده در جدول (۲) مقدار متوسط قطر ذرات در هر دو حالت همگن شده و همگن نشده بزرگتر از مقدار بحرانی ( $F_v/r$ )، نیز  $1\mu$  است و نسبت کسر حجمی به شعاع ذره ( $F_v/r$ )، نیز حدود  $0.4\mu^{-1}$  می‌باشد. لذا با توجه به مقادیر محاسبه شده پیش‌بینی می‌شود که ذرات موجود در ساختار نمونه‌ها اثری شتاب دهنده را بر فرآیند تبلور مجدد اعمال نمایند. براساس نتایج بدست آمده فوق تفاوت رفتار تبلور مجدد در نمونه‌های همگن شده و همگن نشده را نمی‌توان به نحو رضایت‌بخشی با توصل به اختلاف اندازه و یا فاصله بین ذرات در نمونه‌ها توضیح داد.

توجه قرار گرفته است. مقادیر محاسبه شده فاصله بین ذرات ( $\Delta\delta S$ ) در جدول (۲) با توجه به رابطه زیر محاسبه شده است [۷]:

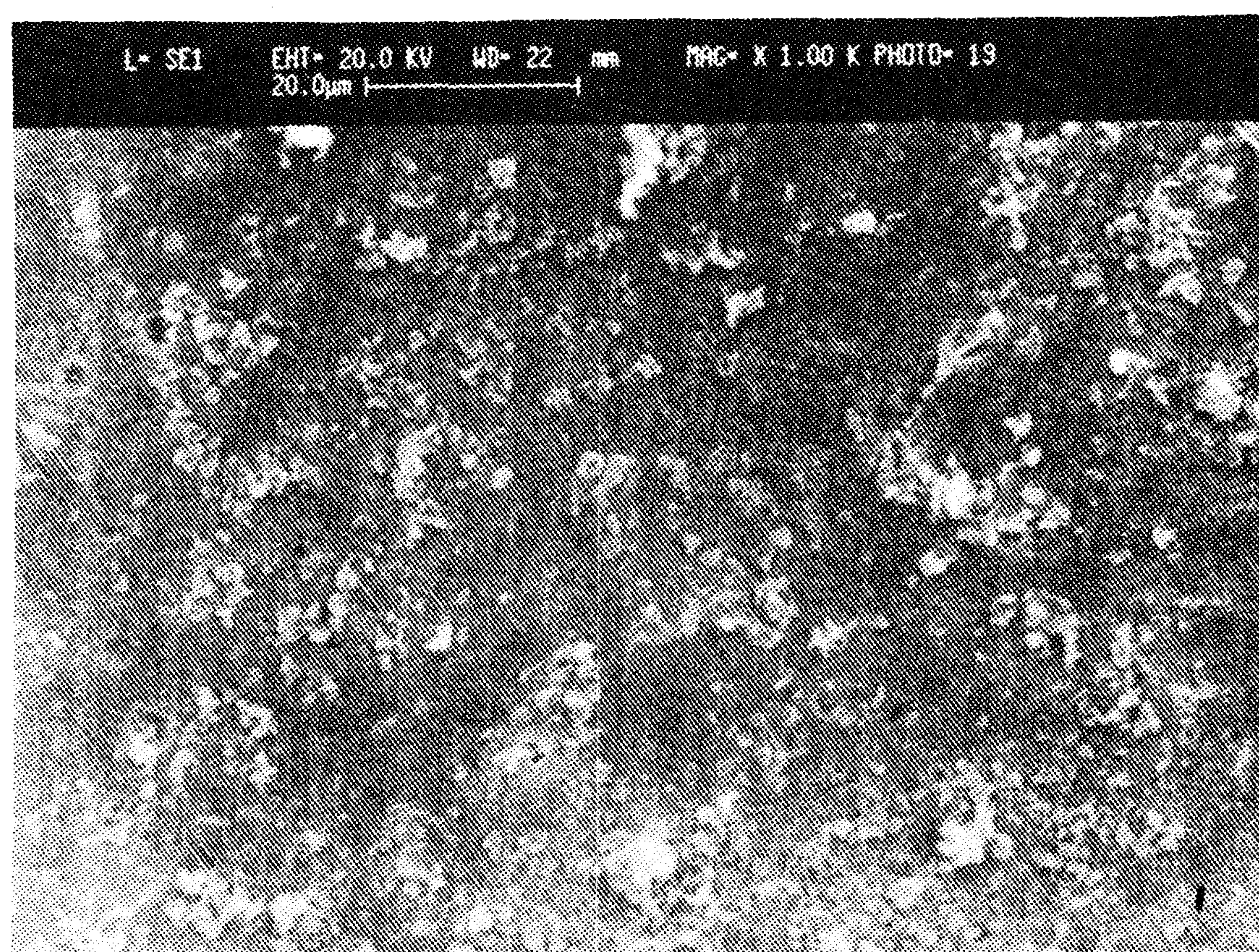
$$\Delta\delta S = 2r (1/F_v)^{1/3} \quad (1)$$

جدول ۲: نتایج حاصل از آنالیز تصویری نمونه‌ها.

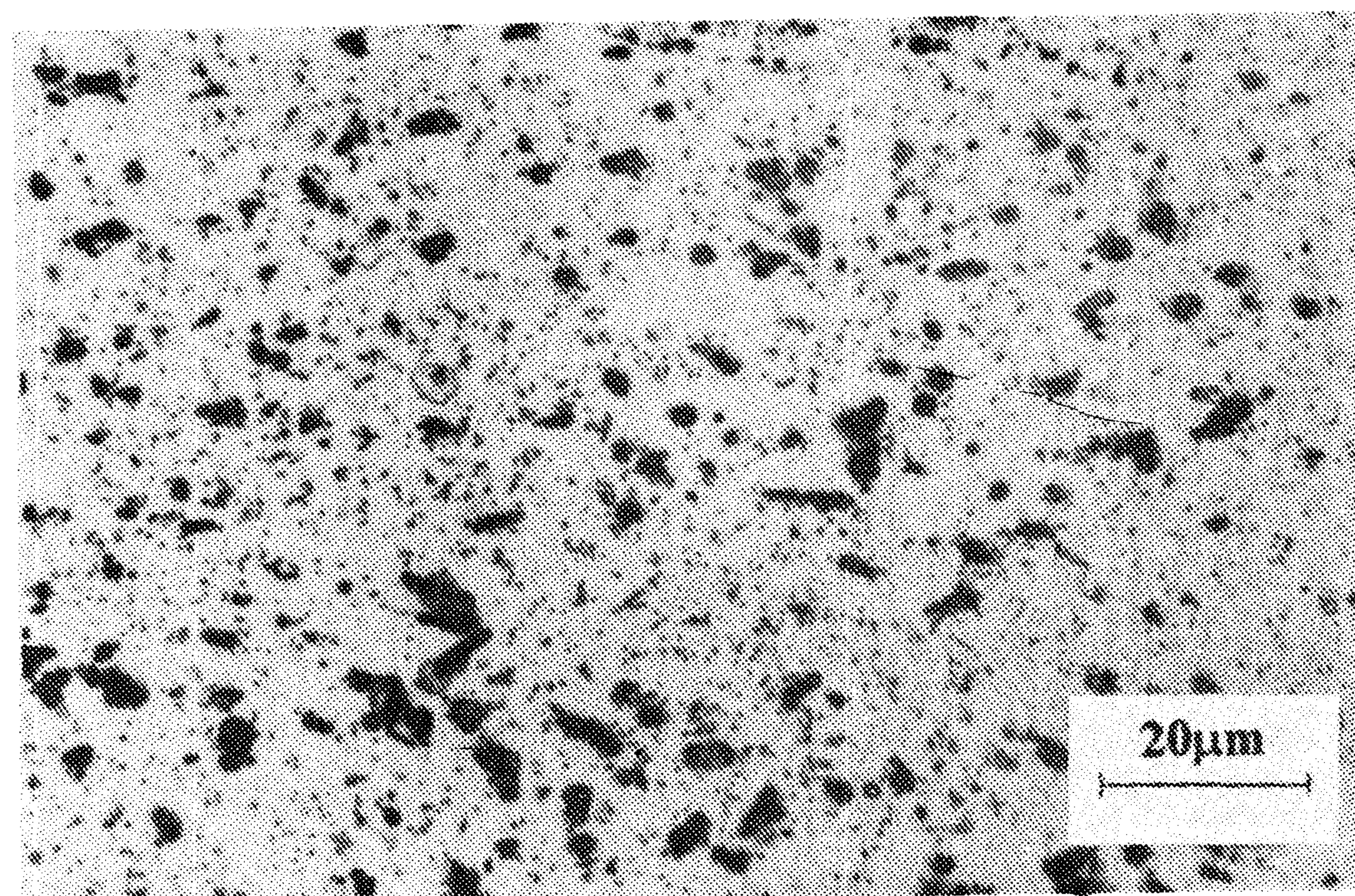
آلیاژ	قطر ذرات $\mu\text{m}$	$F_v$	$F_v/r$ $\mu\text{m}^{-1}$	$\Delta\delta S$ $\mu\text{m}$
همگن شده	۲/۵	۰/۰۵۹	۰/۰۴۷	۶/۴۵۷
همگن نشده	۲/۷	۰/۰۵۴	۰/۰۴۰	۷/۱۹۶



شکل ۴: تغییرات استحکام تسليم با تغییر دمای آنیل.



شکل ۵ - الف: تصویر متالوگرافی SEM مربوط به نمونه ریخته گری.

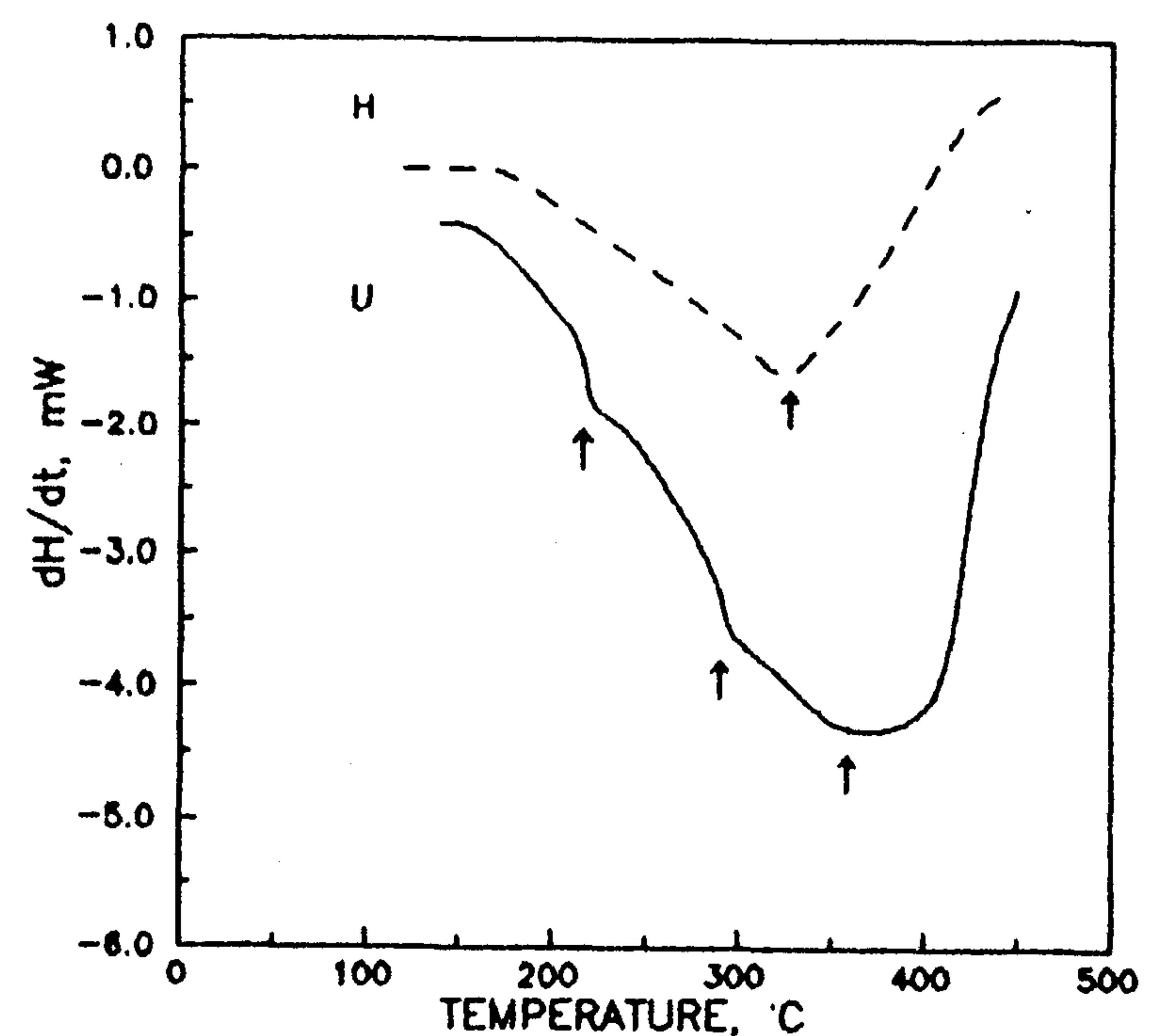


شکل ۵ - ب: تصویر متالوگرافی نوری نمونه همگن شده.

حرارت دیدن آن، واکنش گرمایی یا گرمگیری انجام نمی‌گیرد. در طی آزمایش دمای نمونه‌ها با سرعت ثابت افزایش یافته و اختلاف جریان حرارت بین نمونه اصلی و نمونه شاهد در فواصل زمانی مختلف توسط سیستمهای اندازه‌گیری ثبت گردیده و نهایتاً منحنی  $dH/dt$  بر حسب دما ترسیم می‌گردد. بدین ترتیب با توجه به خنثی بودن نمونه شاهد، هر گونه تغییر (پیک) در منحنی  $dH/dt$  را می‌توان به یک واکنش یا استحاله گرمایی یا گرمگیری در نمونه مورد آزمایش نسبت داد [۱۴]. نتایج حاصل از بررسی DSC نمونه‌ها در شکل (۶) نشان داده شده است. چنانکه ملاحظه می‌شود تغییرات  $dH/dt$  در نمونه همگن نشده دو پیک گرمایی زای ضعیف و یک پیک گرمایی شدید و عریض را نشان می‌دهد. در نمونه همگن شده دو پیک ضعیف حذف شده اند و شدت تنها پیک عریض باقیمانده نسبت به نمونه همگن نشده به مراتب ضعیف تر می‌باشد.

پیکهای مشاهده شده فوق به صورتهای متفاوتی ارزیابی و تفسیر شده‌اند [۱۱، ۱۵-۱۱، ۵]. اختلاف موجود در ارزیابی پیکها را به این صورت می‌توان بیان نمود که آیا پیک اول در نمونه همگن نشده مربوط به فرآیند بازیابی می‌باشد و یا اینکه رسوب گذاری در آن دما را مشخص

فرآیند رسوب گذاری و بر هم کنش آن با تبلور مجدد در سالهای اخیر با دقت زیادی با استفاده از روش گرماسنجی دینامیک DSC مورد بررسی قرار گرفته است [۱۲، ۱۱، ۵]. در این روش نمونه مورد آزمایش و نمونه شاهد در داخل محفظه‌های دستگاه قرار می‌گیرند.

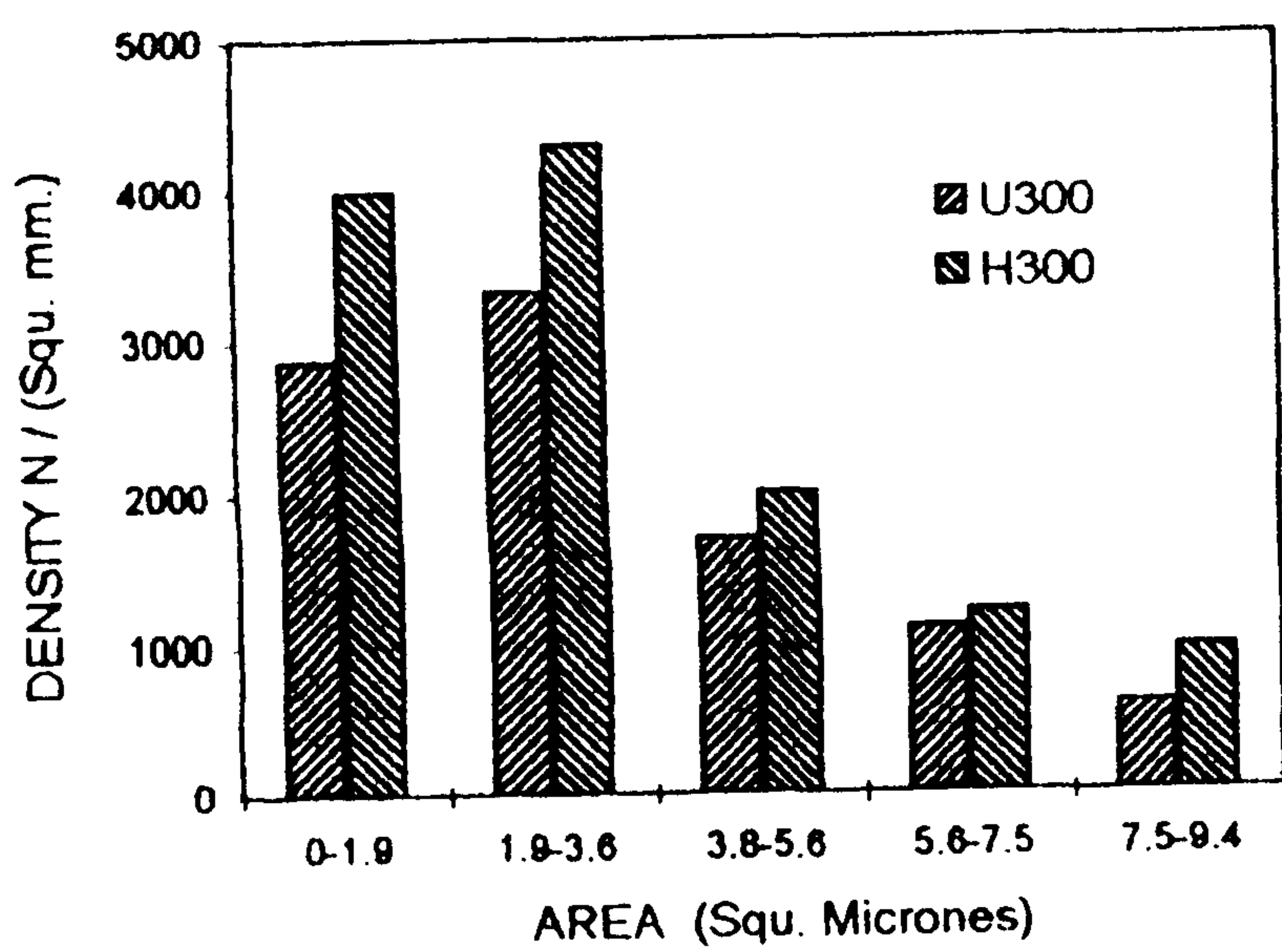


شکل ۶: منحنی های DSC مربوط به نمونه های نورد شده.

ظرفیت حرارتی نمونه شاهد مشابه نمونه اصلی بوده و از نظر حرارتی خنثی می‌باشد. بدین معنی که در طول

شكل (۴)، ۵۰٪ افت استحکام تسلیم در دماهای پایین تری از دمای پیک ایجاد شده است. در نتیجه تک پیک مشاهده شده نمی تواند بنحو مطلوبی به فرآیند بازیابی و یا تبلور مجدد نسبت داده شود. در هر حال پیک مذکور را می توان به یک فرآیند رسوب گذاری ضعیف در نمونه همگن شده نسبت داد.

نتایج فوق نشان می دهد که اختلاف رفتار تبلور مجدد نمونه های همگن شده و همگن نشده را با توجه بر هم کنش رسوب گذاری و تبلور مجدد به نحو مطلوب تری می توان توضیح داد. بدین ترتیب فعال شدن رسوب گذاری در طی آنیل نمونه های همگن نشده موجب کند شدن و به تعویق افتادن فرایند تبلور مجدد ناپیوسته گردیده و در نتیجه تمایل به آنیل پیوسته را در این نمونه ها افزایش داده است. از طرفی دیگر حذف شدن این فرآیند در اثر همگن سازی نمونه ها، منجر به تبلور مجدد ناپیوسته در نمونه های همگن شده می گردد که تحت تاثیر حضور ذرات درشت و اثر PSN به نحو شتاب دهنده ای توسعه می یابد.



شکل ۷: توزیع اندازه رسوبات در نمونه های آنیل شده.

گزارش شده است که کاهش ضخامت زیاد (۹۸٪) در طی نورد در آلیاژ AA ۸۰/۱۱ منجر به انتقال از حالت تبلور مجدد ناپیوسته به حالت تبلور مجدد پیوسته می گردد [۶]. این پدیده به تغییرات جهات مرزهای زیردانه ها و نحوه توزیع آنها نسبت داده شده و ذکر گردیده که فرآیند

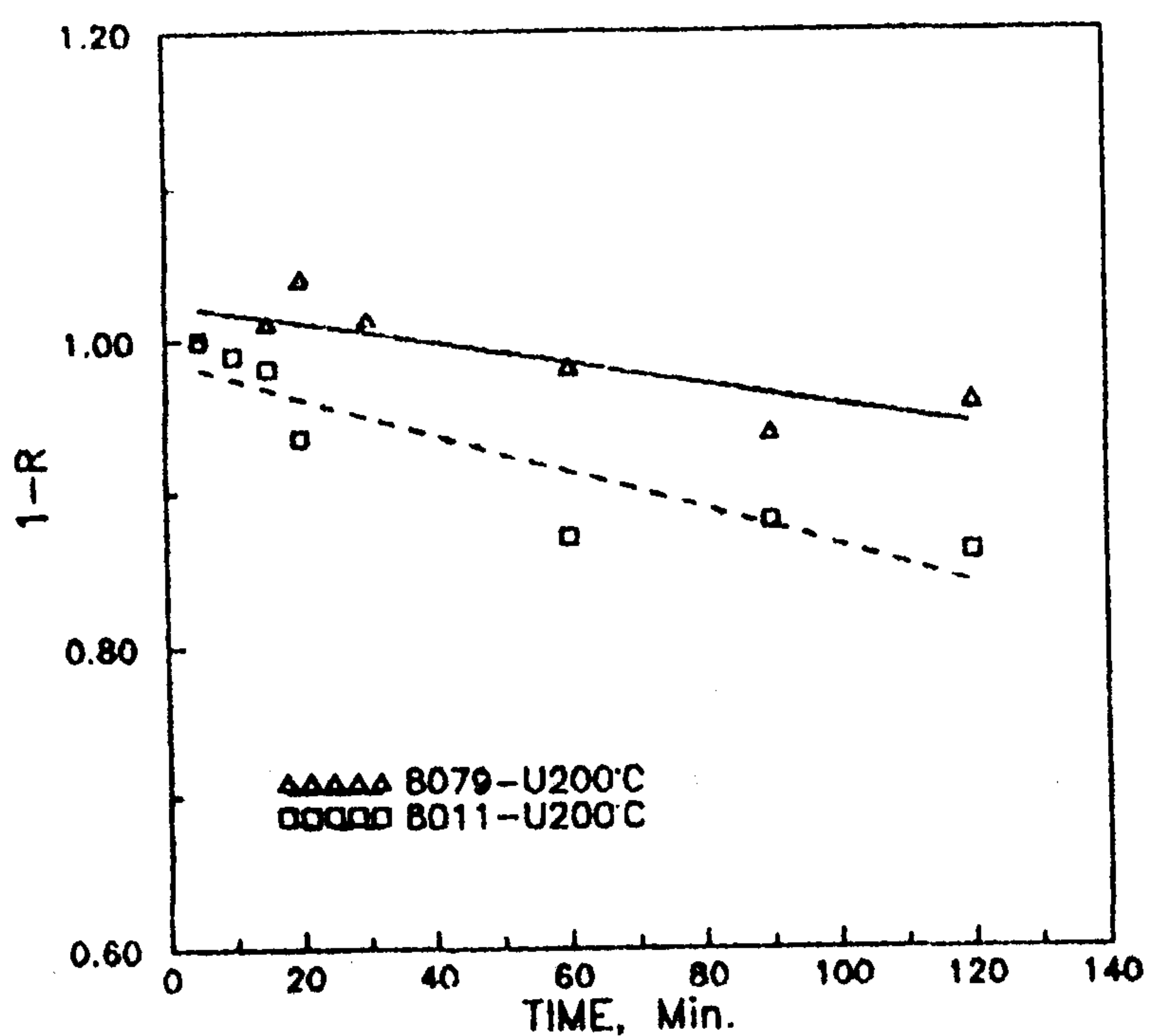
می نماید. در هر حال تحقیقات دقیق در این زمینه [۱۵، ۵] مشخص ساخته که حذف شدن پیک اول پس از عملیات آنیل میانی نظر دوم را تائید می کند. حال باتوجه به مشاهده حذف پیک اول در نمونه همگن شده بطور مشابه می توان نتیجه گیری نمود که سه پیک متمایز در نمونه همگن نشده به ترتیب رسوب گذاری در دمای پایین، تبلور مجدد و رسوب گذاری در دمای بالاتر را مشخص می نماید. علاوه بر این، اولین پیک مربوط به نمونه همگن نشده در شکل (۶) در حوالی دمای  $200^{\circ}\text{C}$  اتفاق افتاده است. این دما با تغییرات تنفس تسلیم و دمای آنیل در شکل (۴) همخوانی دارد، بطوریکه بیشترین اختلاف بین منحنی های مربوط به نمونه های همگن نشده و همگن شده و در نتیجه بیشترین اختلاف بین منحنی های مربوط به اثر بازدارنده بر تبلور مجدد (ناشی از رسوب گذاری) در محدوده دمایی  $150^{\circ}\text{C}$  تا  $250^{\circ}\text{C}$  رخ داده است. همچنین پیک دوم مربوط به دمای  $300^{\circ}\text{C}$  می باشد. در این دما در نمونه همگن نشده ۶۰٪ افت استحکام تسلیم ایجاد گردیده و در نتیجه این پیک را می توان بعنوان پیک تبلور مجدد در نمونه همگن نشده شناسایی نمود. از طرف دیگر باتوجه به شکل (۴) پس از آنیل  $150^{\circ}\text{C}$  استحکام نمونه ها افزایش یافته است. در چنین دمای آنیل پایین، سخت شدن رسوبی می تواند بعنوان مکانیزم مقاوم شدن مطرح گردد. باتوجه به اینکه این افزایش استحکام پس از همگن سازی نمونه ها حذف نشده است، نمی توان آن را به اولین پیک DSC در نمونه همگن نشده نسبت داد. چراکه این پیک در نمونه همگن شده حذف شده است. در هر حال این اثر استحکام دهنده را می توان به پیک عریض مربوط به رسوب گذاری نسبت داد که در هر دو نمونه همگن شده و همگن نشده مشترک می باشد.

تک پیک DSC مشابه با نمونه همگن شده آلیاژ حاضر در آلیاژهای Al-Mn همگن شده نیز مشاهده گردیده [۱۵] ولی توضیح و تفسیر آن به روشنی صورت نگرفته است. چنین به نظر می رسد که نوع پیک را باید باتوجه به شدت پیک و همچنین تغییرات سایر خواص مثل استحکام و یا هدایت الکتریکی در دمای پیک را مورد ارزیابی قرار داد. پیگ گرمایشی مربوط به نمونه همگن شده AA ۸۰/۱۱ به مراتب ضعیف تراز نمونه همگن نشده می باشد. از طرف دیگر باتوجه به تغییرات استحکام تسلیم با دمای آنیل در

از دو حالت همگن شده و همگن نشده محسوس نمی باشد [۱۷]. شکل (۸) منحنی های کسر کرنش سختی باقیمانده،  $R = \sigma_r / \sigma_m$ ، مربوط به نمونه های همگن نشده را نشان می دهد. مقدار  $R$  باتوجه به رابطه زیر محاسبه می گردد:

$$(2) \quad R = (\sigma_m - \sigma_r) / \sigma_m$$

در رابطه فوق  $\sigma_m$  تنש سیلان نمونه بعد از تغییر شکل،  $\sigma_r$  تنش سیلان بعد از بازیابی و  $\sigma_0$  تنش سیلان در حالت آنیل کامل می باشد. چنانکه ملاحظه می شود شبیه خطوط حاصل و لذا سرعت بازیابی در آلیاژ AA ۸۰۱۱ شدید تر است. افزایش سرعت بازیابی در آلیاژ های حاوی ذرات، مشاهده گشته و آن را به تاثیر ذرات در قفل شدن نابجاییها نسبت داده اند [۱۰]. بدین ترتیب نتایج ارائه شده توسط شکل (۸) تاثیر رسوبر گذاری بر فرآیند آنیل نمونه AA ۸۰۱۱ را تأیید می نماید.



شکل ۸: منحنی های کسر کرنش سختی باقیمانده در نمونه های همگن نشده.

### نتیجه گیری

نمونه های همگن شده ورقهای AA ۸۰۱۱ در مقایسه با نمونه های همگن نشده استحکام کمتر و انعطاف پیشتری دارند. علاوه بر این همگن سازی در این آلیاژ با

رسوب گذاری، تاثیر قابل ملاحظه ای در این تغییر رفتار تبلور مجدد نداشته است. در تحقیق حاضر، همگن سازی با تاثیر بر نحوه رسوبر گذاری در طی آنیل، تمایل به تبلور مجدد ناپیوسته را افزایش می دهد. در هر حال این بیان با فرضیات قبلی [۶] مبنی بر تاثیر میزان نورد بر نوع تبلور مجدد مغایرتی ندارد.

چنانکه در شکل (۷) نشان داده شده، تاثیر همگن سازی را می توان با کمک نحوه توزیع اندازه ذرات مورد بررسی قرار داد. چنانکه مشاهده می گردد پس از همگن سازی، دانسیته ذرات ریزتر افزایش یافته است. همچنین تعداد ذرات درشت تر نیز در اثر فرآیند رشد رسوبات افزایش محسوسی را نشان می دهد. بنابراین می توان انتظار داشت که میزان فوق اشباع در نمونه های همگن شده کاهش یافته باشد. تحقیقات انجام شده نشان داده است که پس از فرآیند همگن سازی در دمای بالا، مناطق عاری از رسوبر،  $(PFZ)$  در اطراف ذرات درشت تشکیل می گردد [۱۶]. پس از تغییر شکل نمونه های همگن شده، این مناطق به عنوان محلهای مناسبی برای جوانه زنی تبلور مجدد عمل نموده و در طی عملیات آنیل، تبلور مجدد ناپیوسته را تسريع می نمایند. در طی آنیل نمونه های همگن نشده علاوه بر رسوبر گذاری، حل شدن مجدد رسوبها نیز می تواند پس از رسوبر گذاری انجام پذیرد. بدین ترتیب رسوبر گذاری در این نمونه ها منجر به قفل شدن نابجایی ها و مرز زیر دانه ها گردیده و از طرف دیگر حل شدن رسوبها منجر به رشد رسوبات و تشکیل مناطق  $PFZ$  و نهایتاً آزاد شدن مرز زیر دانه ها و نابجایی ها می گردد [۱۶]. بنابراین بیشتر بودن میزان فوق اشباع در آلیاژ همگن نشده AA ۸۰۱۱ و در نتیجه رسوبر گذاری ناشی از آن در طی آنیل، به همراه رشد رسوبات می تواند به ترتیب به قفل کردن مرزها و آزاد شدن تدریجی آنها منجر شده و تبلور مجدد پیوسته را توسعه دهد. سرعت فرایند بازیابی در آلیاژ حاضر را می توان با آلیاژ های مشابه ای که در آنها تاثیر رسوبر گذاری شدید نمی باشد مقایسه نمود. آلیاژ AA ۸۰۷۹ نمونه ای مناسب برای این منظور می باشد. در طی آنیل آلیاژ AA ۸۰۷۹ همگن نشده، فرایند رسوبر گذاری قابل ملاحظه ای رخ نمی دهد و تمایل به آنیل پیوسته در هریک

نمونه‌های همگن شده مشخص نموده است. در نتیجه رفتار متفاوت رسوب گذاری در نمونه‌های همگن شده و همگن نشده نقش اصلی را در متفاوت بودن ویژگیهای تبلور مجدد آنها ایفاء می‌نماید.

کاهش دمای تبلور مجدد و افزایش میزان تبلور مجدد ناپیوسته همراه می‌باشد. در این ارتباط نتایج بررسی‌های DSC، رسوب گذاری همزمان با تبلور مجدد را در نمونه‌های همگن نشده و تاثیر اندک رسوب گذاری را در

## مراجع

- 1 - Blade, J. C. (1987). "Formability in aluminium alloys its assessment and the relevance of microstructure." *Proc., 8th Int. LMC*, Leoben-Vienna, 496-504.
- 2 - Nes, E. (1987). "Influence of recovery, recrystallization and texture on the structure and properties of aluminium alloys." *Proc. 8th Int. LMC*, Leoben-Vienna, 609-614.
- 3 - Rodrigues, P. M. B., and Bate, P. S. (1984). "Texture and earing in aluminium deep drawing." *Poc. Texture in Non-Ferrous Metal and Alloys*, Detroit-Michigan, USA, 173-187.
- 4 - Gomez, H. (1984). "Development of alloy 8011 for substitution of the alloy 3003 in the fabrication of semirigid containers." *Proc. Light Metals Conference*, Losvegas-Nevada, USA, 341-347.
- 5 - Garcia-Cordovilla, C., Louis, E. 1986). "A differential scanning calorimetry study of recrystallization and its interaction with precipitation in Al-Fe-Si commercial alloys." *Journal of Materials Science*, 21(3), 971-979.
- 6 - Oscarsson, A., Lehtinen, B., Hutchinson, B., Ekstrom, H. E., Bate, P., Haggstrom, L. and Ghandour, A. M. (1994). "Microstructural changes during the annealing of AA 8011 foil rolled from cast strip." *Proc. 4th Int. Conf. on Aluminium Alloys*, Atlanta-Georgia, USA, 144-152.
- 7 - Mould, P. R., and Cotterill, P. (1976). Recrystallization and Grain Growth in Metals. Surrey University.
- 8 - Mould, P. R., and Cotterill, P. (1967). "The effect of particle content and matrix grain size on the recrystallization of two phase aluminium alloys." *Journal of Materials Science*, 2, 241-255.
- 9 - Furrer, P., Rheinfoll, N. A., and Warlimont, H. (1987). "The effect of segregation and precipitation on the annealing behaviour and grain size of aluminium alloys." *Aluminium*, 54, 135-142.
- 10 - Humphreys, F. J., and Hatherly, M. (1995). *Recrystallization and Related Annealing Phenomena*, Elsevier Science Ltd.
- 11 - Garcia-Cordovilla, C., and Louis, E. (1984). "A differential scanning calorimetry study of recovery and recrystallization in commercial Al-Fe-Si alloy." *Scripta Metallurgica*, 18(9), 549-553.
- 12 - Straink, M. J., Hobson, A. J. and Gregson, P. J. (1996). "Dsc sample preparation for Al-based alloys." *Scripta Materialia*, 34(11), 1711-1716.
- 13 - Nebti, S., Hamana, and Cizeron, G. (1995). "Calorimetric study of pre-precipitation and precipitation in Al-Mg alloy." *Acta Metallurgica*, 43(9), 3583-3588.
- 14 - Tunistra, P., Duine, P., Sietsma, J., and Beukel, V. (1995). "The calorimetric glass transition of amorphous Pd Ni P." *Acta Metallurgica*, 43(7), 2815-2823.
- 15 - Garcia-Cordovilla, C. and Louis, E. (1987). "Precipitation and recrystallization processes in Al-Mn alloys studied by means of differential scanning calorimetry." *Proc. 8th Int. LMC*, Leoben-Vienna, 452-455.

- 16 - Morris, P. L., and Duggan, B. J. (1987). "Precipitation and recrystallization in an Al-1.8% Mn alloy." *Metal Science*, 17(1), 1-7.
- 17 - Aghaie Khafri, M. (1996). "Forming behaviour of AA8011 and AA8079 aluminium sheets." *M. Sc. Thesis*, Tehran University.

#### واژه نامه

1 - Differential Scanning Calorimetry	روش گرماسنجی دینامیک
2 - Particle-Hardened	سخت شونده توسط ذرات
3 - Particle Stimulated Nuclation	تحریک شده توسط ذرات (PSN)
4 - Extended Recovery	بازیابی گسترش یافته
5 - Precipitation Free Zone	مناطق عاری از رسوب